

(MR-3026).- Calizas nodulosas de Vidrieros (7) con esquistosidad, cerca de Campollo



(MR-3027).- Bloques de erosión de la Granodiorita de Pico Jano (46).



(MR-3029).- Conglomerado (23) de Curavacas del Sinclinal de Viorna por encima de Mogrovejo.



-(MR-3030).- Cuarcitas de la Formación Moradillo (6) junto a la localidad de Dobarganes



(MR-3031).- Argayo antiguo con la cicatriz cubierta de vegetación. Avellanedo.



(MR-3055).- Calizas tableadas negras de Lon (9).



(MR-3057).- Lutitas y areniscas de la secuencia turbiditica inferior (11) con afloramientos de calizas tableadas (9).



(MR-3065).- Conglomerados de la secuencia turbiditica inferior (13) cerca de Barrio



(MR-3066).- Derrubios glaciales en la subida a los Puertos de Pineda.



(MR-3067).- Bloques clacáreos (16) de la serie turbiditica inferior cerca de Barrio



(MR-3081B).- Calizas nodulosas (40) blancas en la base de los Picos de Europa.



(MR-3086).- Colapsobrecha calcárea (16) en la secuencia turbi
ditica inferior.



(MR-3116).- Morrena frontal (48) en la subida al Puerto de Remoña.



(MR-3117).- Sucesión carbonífera del Dominio de los Picos de Europa superpuestos al carbonífero pizarroso del de Liébana. Se observa el aspecto masivo de la Caliza de Montaña (41) inferior, y el bandeado basal y la parte masiva superior de la Caliza de Picos de Europa (42).



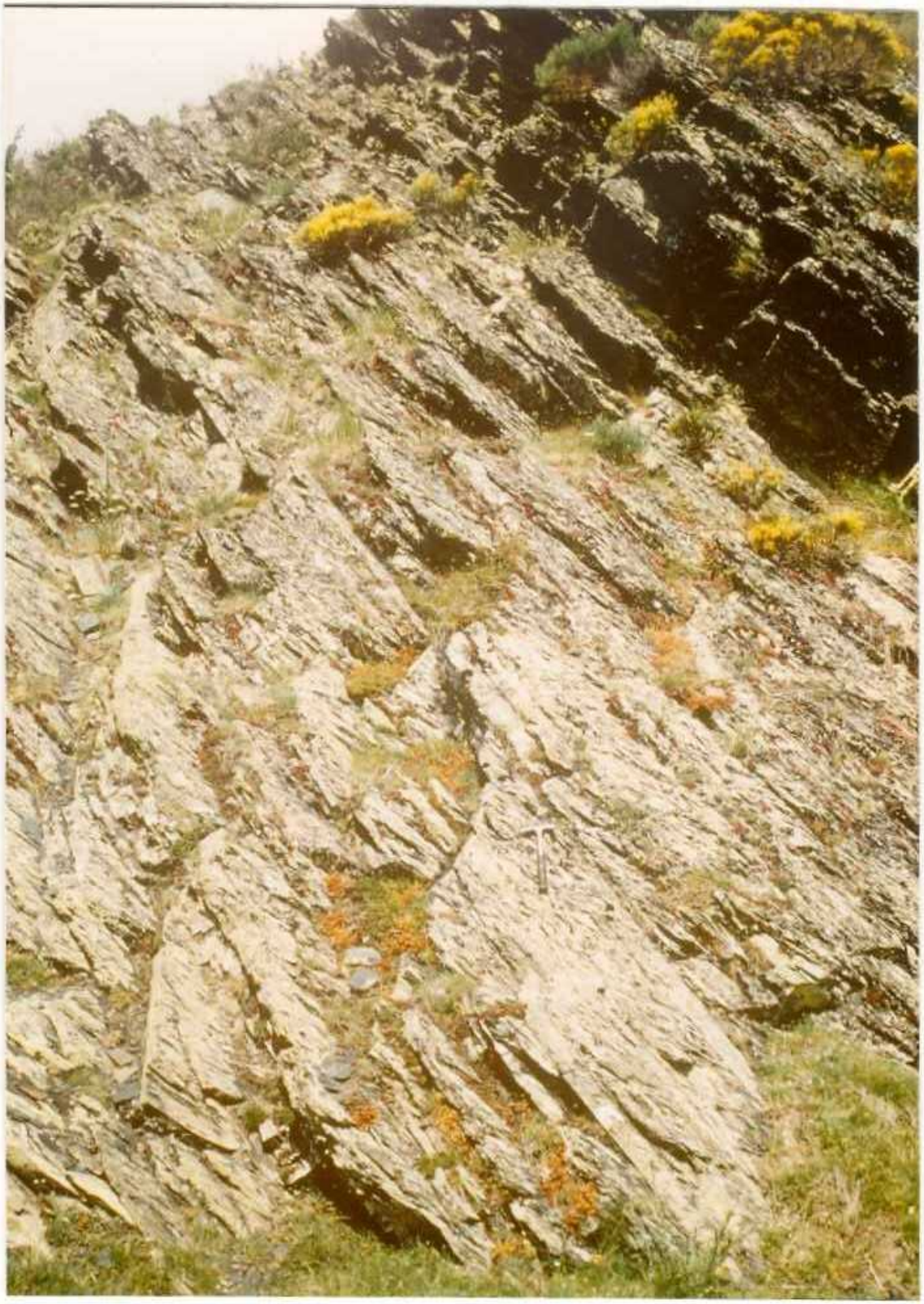
(MR-3131).- Derrubios periglaciales estratificados (49). Subida al Puerto de Remoña.



(MR- 3201.- Calizas de la Formación Lebaña (3)



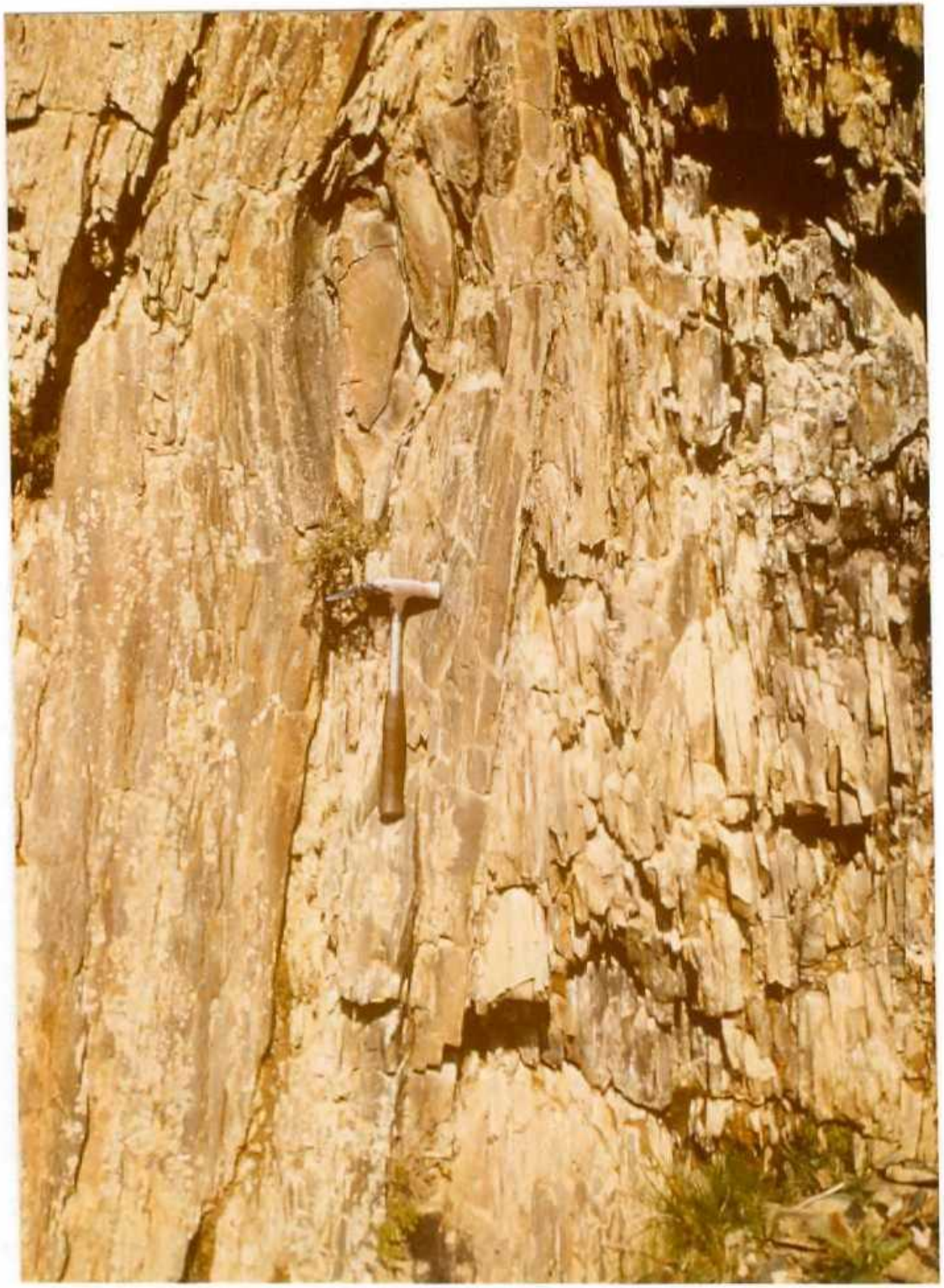
(MR-3202).- Pizarras limosas de la Formación Arroyacas (1) y cuarcitas de Carazo (2)



(MR-3203).- Turbiditas pizarrosas (25) de la secuencia turbidi
tica superior.



(MR- 3204).- Turbiditas arenosas (26) de la secuencia trubidi
tica superior.



(MR-3205).- Turbiditas pizarrosas de la secuencia calcárea inferior.



(MR-3206).- Turbiditas calcáreas (14, 16) de la secuencia turbiditica inferior.



(MR-3207).- Turbiditas arenosas (12) de la secuencia trubiditi
ca inferior.



(MR-3208).- Calizas superiores (16) de la serie turbiditica inferior (Calizas de Piedrasluengas



(MR-3209).- Calizas (30) de la serie turbiditica superior (Calizas de EL Ves).



(MR-3210).- Contacto entre las calizas (30) y pizarras oscuras (28) de la serie turbiditica superior.



(MR-3211).- Pizarras y calizas de la Formación Gustalapiedra (5)



(MR-3212).- Pizarras y calizas de la Formación Abadia (4)



(MR-3648).- Aspecto de la zona ocupada por la Formación Aliva (44) pizarrosa, casi totalmente cubierta por depósitos glaciales (48), sobre las que se disponèn cabalgantes la caliza de Montaña (41) y Caliza de Picos de Europa (42) de Peña Vieja.



(MR-3659).- Detalle de los bloques existentes en las avenidas de derrubios calcáreos (45) de la Formación Aliva.



(MR-3660).- Avenida de derrubios calcáreos (45) en las Pizarras de Aliva (44) cerca del Collado de Cámara.



(MR-3661).- Derrubios periglaciales (49) estratificados subida al Collado de Cámara.



(MR-3663).- Detalle de los derrubios periglaciales estratificados (49).



(MR-3667).- Calizas de Panda (31) desde las Portillas



(MR-3679).- Cono torrencial (52). Puerto de Remoña.



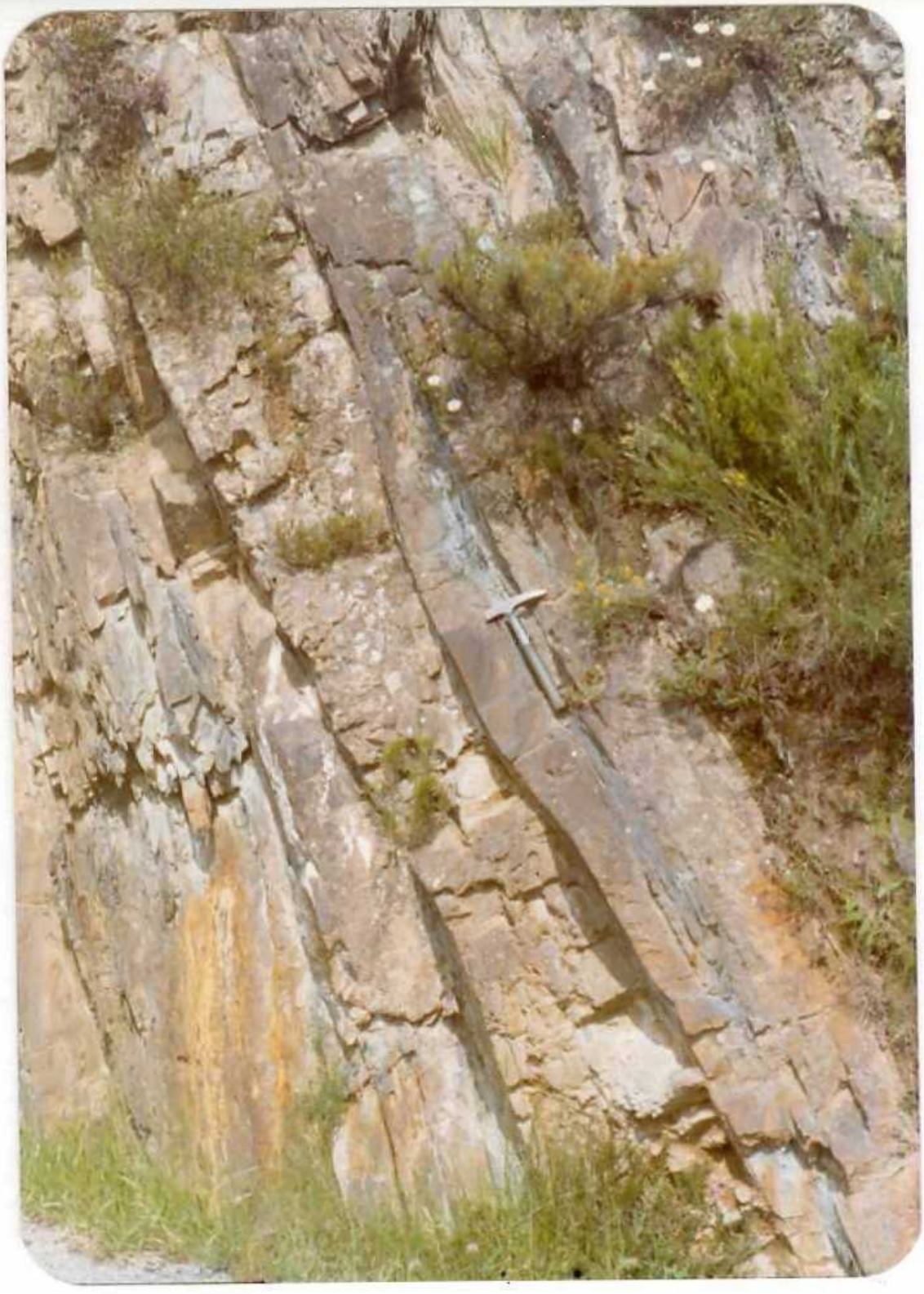
(SA-1429).- Bloques de calizas de algas en los conglomerados (19) de la secuencia turbiditica intermedia, cerca de Vejo.



(SA-1433).- Conglomerados (23) de Curavacas, km 22,4 de la Cra de San Glorio.



(SA-1434).- Derrubios de ladera (52). Carretera de S. Glorio



(SA-1439).- Paleocanal en interestratificación de grauvacas (21) y conglomerados (19) en la secuencia turbiditica intermedia.



(SA-1443).- Grauvacas (15) de la secuencia turbiditica inferior con flute-casts



(SA-1446).- Conglomerado calcáreo (13) intercalado en la Secuencia turbiditica inferior.